



СОЮЗ СОВЕТСКИХ
СОЦИАЛИСТИЧЕСКИХ
РЕСПУБЛИК

(19) SU (11) 1569738 А1

(51) 5 G 01 R 23/16

ГОСУДАРСТВЕННЫЙ КОМИТЕТ
ПО ИЗОБРЕТЕНИЯМ И ОТКРЫТИЯМ
ПРИ ГННТ СССР

ОПИСАНИЕ ИЗОБРЕТЕНИЯ К АВТОРСКОМУ СВИДЕТЕЛЬСТВУ

ВСЕСОЮЗНАЯ
ПАТЕНТНО-ТЕХНИЧЕСКАЯ
БИБЛИОТЕКА

(21) 4460858/24-21

(22) 15.07.88

(46) 07.06.90. Бюл. № 21

(71) Минский радиотехнический институт

(72) В.А.Кешишьян

(53) 621.317(088.8)

(56) Авторское свидетельство СССР № 560232, кл. G 06 F 15/34.

Горохов В.А. Комплексная миниипризация в электросвязи. - М.: Радио и связь, 1987, с.196.

(54) АНАЛИЗАТОР СПЕКТРА ФУРЬЕ

(57) Изобретение относится к вычислительной технике, в частности к обработке сигналов в реальном масштабе времени, и может быть использовано для выделения сигналов на фоне помех,

2
в спектральном анализе, при классификации сигналов. Цель изобретения - расширение функциональных возможностей устройства - достигается путем определения коэффициента Фурье в базисе тригонометрических функций, а также увеличение быстродействия. Устройство содержит генератор базисных функций, два канала интеграторов по n интеграторов в каждом, два канала вычислителей по β вычислителей в каждом. Введение вычислителей и соответствующих связей позволяет вычислять коэффициенты Фурье в базисе тригонометрических функций без использования операции умножения, что позволяет расширить функциональные возможности устройства и увеличить быстродействие. 7 ил.

Изобретение относится к вычислительной технике, предназначено для обработки сигналов в реальном масштабе времени и может быть использовано в задачах выделения сигналов на фоне помех, в спектральном анализе, в задаче классификации сигналов и т.п.

Целью изобретения является расширение функциональных возможностей за счет определения коэффициентов Фурье в базисе тригонометрических функций, а также увеличение быстродействия.

На фиг.1 представлена блок-схема анализатора спектра Фурье; на фиг.2 - схема генератора базисных функций; на фиг.3 - первые пять квазиортогональных базисных кусочно-постоянных

функций; на фиг.4 - временная диаграмма формирования первого и второго синхронизирующих сигналов; на фиг.5 - N интеграторов первого и второго канала; на фиг.6 - блок-схема 1-го вычислителя соответственного первого и второго каналов; на фиг.7 - вычислители первого и второго каналов для $N = 15$.

Анализатор спектра содержит генератор 1 базисных функций (ГБФ) с входным зажимом 1-0, с первым 1-1 и вторым 1-2 синхронизирующими выходами и группами выходов первого и второго каналов соответственно 1-1-1, 1-1-2, 1-1-i, ..., 1-1- β , ..., 1-1- n и 1-2-1, 1-2-2, ..., 1-2-i, ..., 1-2- β , ... ,

SU (11) 1569738 А1

1-2-n. Входной зажим 1-0 ГБФ соединен с выходом генератора 2 тактовых импульсов (ГТИ).

Первый 3 и второй 4 каналы интеграторов содержат по n интеграторов соответственно 3-1, 3-2, ..., 3-i, ..., 3-p, ..., 3-n и 4-1, 4-2, ..., 4-i, ..., 4-p, ..., 4-n. Зажим 3-1-1 является входным зажимом устройства.

Первый 5 и второй 6 каналы вычислителей выполняют операции сложения, вычитания и умножения на постоянный коэффициент. Вычислители 5 и 6 содержат первый, второй, ..., β -й вычислители соответственно 5-1, 5-2, ..., 5- β и 6-1, 6-2, ..., 6- β , причем каждый i-й вычислитель может содержать с первого по n-й входной зажим соответственно 5-1-1, 5-1-2, ..., 5-1-n и 6-1-1, 6-1-2, ..., 6-1-n. Каждый i-й вычислитель имеет один выходной зажим. Соответственно вычислители первого и второго каналов содержат выходы 7-1-1, 7-1-2, ..., 7-1-n и 7-2-1, 7-2-2, ..., 7-2-n, которые одновременно являются и первым - n-м выходами соответственно первого и второго канала устройства.

ГБФ формирует на выходе кусочно-постоянные функции с амплитудами +1, 0 (причем 0 эквивалентен амплитуде -1) и содержит генератор 8 ортогональных тригонометрических функций (ГОТФ) 8. Последний имеет n выходов первого и второго канала соответственно 8-1-1, 8-1-2, ..., 8-1-n и 8-2-1, 8-2-2, ..., 8-2-n. ГБФ 1 включает в себя также устройство 9 сопряжения.

Устройство 9 сопряжения служит для преобразования тригонометрических функций в кусочно-постоянные функции с амплитудами 0, +1 и имеет n входов первого и второго каналов соответственно 9-1-1, 9-1-2, ..., 9-1-n и 9-2-1, 9-2-2, ..., 9-2-n, а также имеет n групп выходов, первого и второго каналов, которые одновременно являются соответствующими группами выходов ГБФ соответственно первого и второго каналов. Устройство сопряжения содержит по n RS-триггеров соответственно первого и второго каналов 10-1, 10-2, ..., 10-n и 11-1, 11-2, ..., 11-n, инверторы 12-1, 12-2, ..., 12-n и 13-1, 13-2, ..., 13-n, а также делитель 55 пределитель 14 импульсов на два направления. Каждому из триггеров принадлежат соответственно первая-четвертая

схемы И 15-18, выходы которых являются соответственно первым-четвертым выходами 19-22, образующие соответствующие группы выходов ГБФ, причем первая группа выходов ГБФ первого канала содержит первый и второй синхронизирующие сигналы, формирующися дифференцирующей цепью из конденсатора 23, резистора 24, полупроводникового диода 25 и дополнительного инвертора 26, а также схемы 27 задержки, причем выход дополнительного инвертора 26, а также выход схемы 27 задержки образуют первый и второй синхронизирующие выходы ГБФ. Интеграторы первого и второго каналов идентичны один другому и содержат соответственно первый 28 и второй 29 операционные усилители, первый-восьмой ключи 30-37, первый-четвертый конденсаторы 38-41, причем управляющие входы третьего 32, четвертого 33, пятого 34 и шестого 35, седьмого 36 и восьмого 37 ключей образуют соответственно первый-четвертый управляющие входы 42-45 каждого интегратора, а управляющие входы второго 31 и первого 30 ключей образуют соответственно первый и второй синхронизирующие входы 46 и 47, i-й вычислитель первого и второго каналов содержит соответственно входы 5-1-i, 5-1-3i, 5-1-5i, ..., 5-1-i (2n-1) и 6-1-i, 6-1-3i, 6-1-5i, ..., 6-1-i (2n-1), а также с первого по k-й вычитатели и сумматоры соответственно 48-1, 48-2, ..., 48-(k-1), 48-k, с первого по k-й умножитель на постоянный коэффициент соответственно 49-1, 49-2, ..., 49-k.

Вычислители первого и второго каналов содержат для случая N=15 соответственно 15 входов 5-1-1, ..., 5-1-15 и 6-1-1, ..., 6-1-15.

Первый вычислитель первого и второго каналов содержит первый-пятый вычитатели 48-1 и 48-5 и сумматор 48-6, а также первый-шестой умножители на постоянный коэффициент соответственно 49-1, ..., 49-6.

Второй вычислитель первого и второго каналов содержит соответственно первый-третий вычитатели 48-1-48-3, а также первый-третий умножители 49-1, ..., 49-3 на постоянный коэффициент.

Третий вычислитель первого и второго каналов содержит соответственно первый 48-1 и второй 48-2 вычитатели

и первый 49-1 и второй 49-2 умножите-
ли на постоянный коэффициент.

Четвертый вычислитель первого и
второго каналов содержит вычислитель
48-1 и умножитель 49-1 на постоянный
коэффициент.

Пятый вычислитель первого и второ-
го каналов содержит вычитатель 48-1
и умножитель 49-1 на постоянный ко-
эффициент. Причем выходы первого-пя-
того вычислителей соответственно перво-
го и второго канала образуют перв-
ый-пятый выходы 7-1-1, ..., 7-1-5 перво-
го и второго канала устройства, а
выходы интеграторов 3-6, 3-7, ..., 3-15
и 4-6, 4-7, ..., 4-15 первого и второ-
го канала непосредственно образуют
шестой-пятнадцатый выходы первого и
второго канала устройства соответст-
венно 7-1-6 (7-2-6), 7-1-7 (7-2-7), ...
7-1-15 (7-2-15).

Анализатор спектра Фурье работает
следующим образом.

ГОТФ 8 генератора 1 под воздейст-
вием поступающих на вход 8-1 ГОТФ
(вход 1-0, ГБФ) импульсов с выхода
ГТИ 2 вырабатывает ортогональные три-
гонометрические функции. На выходах
ГОТФ 8 первого и второго каналов со-
ответственно, 8-1-1, 8-1-2, ...,
8-1-n и 8-2-1, 8-2-2, ..., 8-2-n
(фиг.2) формируются функции соответс-
твенно $\sin \omega t$, $\sin 2\omega t$, ..., $\sin n\omega t$
и $\cos \omega t$, $\cos 2\omega t$, ..., $\cos n\omega t$. Эти
функции поступают соответственно на
входы устройства сопряжения (фиг.2).
При этом соответствующие тригономет-
рические базисные функции поступают
с одной стороны на входы S RS-тригге-
ров соответственно 10-1, 10-2, ...,
10-n и 11-1, 11-2, ..., 11-n, а с дру-
гой - на входы инверторов 12-1,
12-2, ..., 12-n и 13-1, 13-2, ..., 13-n,
выходы которых соединены соответст-
венно с входами R RS-триггеров
(фиг.2). Считая, что амплитуды сигна-
лов тригонометрических функций доста-
точны для включения и выключения
триггеров по S- и R-входам, на выхо-
дах каждого из указанных триггеров
формируются кусочно-постоянные функ-
ции с амплитудами +1, 0. Причем зна-
чение амплитуды, равное нулю, эквива-
лентно значению амплитуды -1 основ-
ной базисной функции (фиг.3). Распре-
делитель 14 импульсов формирует им-
пульсы по двум направлениям (фиг.4),
а первая 15 и вторая 16 схемы И при

высоком уровне на первом выходе
RS-триггера дают разрешение на появ-
ление импульсов на первом, затем на
втором выходах первой группы выходов
1-1-1 первого канала, а при появлении
высокого уровня на втором выходе
RS-триггера включаются третья 17 и
четвертая 18 схемы И (фиг.2). Так
как триггер 10-1 переключается с час-
тотой основной гармоники $\sin \omega t$, то
по окончании одного периода с по-
мощью дифференцирующей цепи 23-26 и
инвертора 27 формируется первый синх-
ронизирующий импульс (фиг.2 и 4),
то есть выход 1-1 ГБФ, а проходя по
схеме 27 задержки (задержка осущест-
вляется не более чем на полпериода
частоты следования тактовых импуль-
сов ГТИ 2), на выходе 1-2 ГБФ появля-
ется второй синхронизирующий импульс.

Пусть на вход 3-1-1 устройства
(фиг.1 и 5) поступает сигнал $f(t)$,
разложение которого в ряд Фурье име-
ет вид

$$\begin{aligned} f(t) = & A_0 + A_1 \sin \omega t + B_1 \cos \omega t + \\ & + A_2 \sin 2\omega t + B_2 \cos 2\omega t + \dots + \\ & + A_{10} \sin 10\omega t + B_{10} \cos 10\omega t + \dots . \end{aligned}$$

Введенные в предлагаемом изобрете-
нии базисные функции вида $\text{sign } x$
 $x (\sin n\omega t)$ при $n = 1, 2, 3, \dots$ обозна-
чим как $S(1), S(2), \dots, S(n)$, а функ-
ции вида $\text{sign}(\cos n\omega t)$ при $n = 1, 2,$
 $3, \dots$ как $C(1), C(2), \dots, C(n)$
(фиг.3).

Умножают $f(t)$ соответственно на
каждую из функций $S(1) \dots S(n)$ и
 $C(1) \dots C(n)$ и интегрируют на интерва-
ле 0-T

$$\begin{aligned} \frac{1}{T} \int_0^T f(t)S(1)dt = & \frac{2}{\pi} A_1 + \frac{2}{3\pi} A_3 + \frac{2}{5\pi} A_5 + \\ & + \frac{2}{7\pi} A_7 + \frac{2}{9\pi} A_9 + \frac{2}{11\pi} A_{11} + \dots (1-1); \\ \frac{1}{T} \int_0^T f(t)S(2)dt = & \frac{2}{\pi} A_2 + \frac{2}{3\pi} A_6 + \\ & + \frac{2}{5\pi} A_{10} + \frac{2}{7\pi} A_{14} + \dots (1-2); \\ \frac{1}{T} \int_0^T f(t)S(10)dt = & -\frac{2}{\pi} A_{10} + \frac{2}{3\pi} A_{30} + \\ & + \frac{2}{5\pi} A_{50} + \frac{2}{7\pi} A_{70} + \dots (1-10). \end{aligned}$$

Аналогично умножая $f(t)$ на $C(n)$
и интегрируя в пределах 0-T, получают

$$\begin{aligned} \frac{1}{T} \int_0^T f(t)C(1)dt = & -\frac{2}{\pi} B_1 - \frac{2}{3\pi} B_3 + \\ & + \frac{2}{5\pi} B_5 - \frac{2}{7\pi} B_7 + \frac{2}{9\pi} B_9 - \end{aligned}$$

$$-\frac{2}{11\pi} B_{11} + \dots (2-1)$$

$$\begin{aligned} \int_0^T f(t) C(10) dt = & -\frac{2}{\pi} B_{10} - \frac{2}{3\pi} B_{30} + \\ & + \frac{2}{5\pi} B_{50} - \frac{2}{7\pi} B_{70} + \dots (2-10) \end{aligned}$$

Рассмотрим принцип действия устройства при условии, что $f(t)$ содержит первую-пятнадцатую гармоники, т.е. при $N=15$ необходимо определить пятнадцать коэффициентов A_i , $-A_{15}$ и B_i , $-B_{15}$ ряда Фурье (коэффициенты выше 15 пятнадцатых не рассматриваются).

Для определения пятнадцати коэффициентов A_i и B_i используются пятнадцать групп выходов соответственно первого и второго каналов ГБФ 1, пятнадцать интеграторов ($N=15$) первого и второго каналов, которые имеют номера (3-1, 3-2, ..., 3-15 и 4-1, 4-2, ..., 4-15) порядка следования, соответствующие номерам входов соответствующих вычитателей первого и второго каналов 5-1-1, 5-1-2, 5-1-3, ..., 5-1-15 и 6-1-1, 6-1-2, 6-1-3, ..., 6-1-15.

Определяют количество вычитателей, сумматоров и умножителей на постоянный коэффициент, необходимых для первого - i -го вычислителей. Первый вычислитель ($i = 1$) первого и второго каналов подключается своими входами 5-1-1, 5-1-3, 5-1-5, ..., 5-1-15 и 6-1-1, 6-1-3, 6-1-5, ..., 6-1-15 к соответствующим выходам номеров интеграторов первого и второго каналов (фиг.7).

Порядковые номера входов первого вычислителя первого и второго каналов (фиг.7, 5-1 и 6-1), которые делятся только на единицу и себя, - 5-1-3, 5-1-5, 5-1-7, 5-1-11 и 5-1-13 (фиг.7). Поэтому указанные номера входов первого вычислителя (5-1 и 6-1) через умножители 49-1, 49-2, ..., 49-5 на постоянный коэффициент подключаются к вторым входам первого-пятого вычитателя 48-1, 48-2, ..., 48-5. Порядковые номера входов первого вычитателя первого и второго каналов (фиг.7, 5-1 и 6-1), которые делятся не только на единицу и на себя, а и на другие числа, - только номер 15 входа (фиг.7), который с входа 5-1-15 (6-1-15) первого вычислителя первого и второго каналов через шестой умножитель 49-6 на

постоянный коэффициент подключается к второму входу сумматора 48-6. Причем номером входов первого вычислителя первого и второго каналов, удовлетворяющих условию $K^2 i (2^k - 1) \in N$, $K = 3$, будет только номер 9, следовательно, он не используется. Выход сумматора 48-6 является выходом первого вычислителя первого и второго каналов, причем первые входы сумматора 48-6 подключены к выходу вычитателя 48-5, а первый вход вычитателя 48-5 - к выходу вычитателя 48-4 и т.д., т.е. первый вход вычитателя 48-4 подключается к выходу вычитателя 48-3, первый вход вычитателя 48-3 - к выходу вычитателя 48-2, первый вход вычитателя 48-2 - к выходу вычитателя 48-1, а первый вход вычитателя 48-1 - к первому входу 5-1-1 (6-1-1) первого вычислителя 5-1 и 6-1 первого и второго каналов.

Второй вычислитель 5-2 (6-2) первого и второго каналов ($i = 2$) подключается своими входами 5-1-2, 5-1-6, 5-1-10, 5-1-14 и 6-1-2, 6-1-6, 6-1-10, 6-1-14 к соответствующим номерам выходов интеграторов первого и второго каналов (фиг.7).

Определим количество вычитателей, сумматоров и умножителей на постоянный коэффициент, необходимых для второго вычислителя первого и второго каналов.

Порядковые номера входов второго вычислителя первого и второго каналов (фиг.7, 5-2 и 6-2) с кратными номерами входов первому вычислителю, которые делятся только на единицу и на себя, будут номера 6, 10, 14 (кратные номерам 3, 5, 7 входов первого вычитателя). Следовательно, входы 5-1-6, 5-1-10, 5-1-14 и 6-1-6, 6-1-10, 6-1-14 через умножители 49-1, 49-2 и 49-3 на постоянный коэффициент подключены к вторым входам вычитателей соответственно 48-1, 48-2 и 48-3. Среди порядковых номеров входов второго вычислителя первого и второго каналов (фиг.7, 5-2 и 6-2), нет номеров, кратных номерам первого вычислителя, которые делятся не только на единицу и на себя, но и на другие числа. Следовательно, второй вычислитель (фиг.7, 5-2 и 6-2) не имеет сумматоров. Кроме того, среди входов второго вычислителя нет входов, кото-

ые не используются, так как нет номеров, кратных номерам первого вычислителя с номерами $K^2(2\alpha-1) = 9, 25, 27, \dots$. Следовательно, выход третьего вычислителя 48-3 является выходом второго вычислителя первого и второго каналов, а первый вход третьего вычислителя 48-3 подключен к выходу второго вычислителя 48-2, первый вход которого подключен к выходу первого вычислителя 48-1, первый вход которого подключен к первому входу второго вычислителя, т.е. к входу с $i = 2$ (т.е. первый вход второго вычислителя имеет порядковый номер $i = 2$).

Третий вычислитель 5-3 (6-3) первого и второго каналов ($i = 3$) подключается своими входами 5-1-3, 5-1-9, 5-1-15 и 6-1-3, 6-1-9 и 6-1-15 к соответствующим номерам выходов интеграторов первого и второго каналов (фиг. 7).

Определим количество вычитателей, сумматоров и умножителей на постоянный коэффициент, необходимых для третьего вычислителя первого и второго каналов.

Порядковые номера выходов третьего вычислителя первого и второго каналов с кратными номерами выходов первому вычислителю делятся только на единицу и на себя (кратность номерам 3 и 5 первого вычислителя). Следовательно, входы 5-1-9, 5-1-15 и 6-1-9 и 6-1-15 через умножители 49-1 и 49-2 на постоянный коэффициент подключены к вторым входам вычитателей 48-1 и 48-2 соответственно. Среди порядковых номеров третьего вычислителя первого и второго каналов (фиг. 7, 5-3 и 6-3) нет номеров, кратных номерам первого вычислителя, которые делятся не только на единицу и на себя, но и на другие числа. Следовательно, третий вычислитель 5-3 и 6-3 не содержит сумматоров. Кроме того, среди входов третьего вычислителя нет выходов, которые не используются, так как нет номеров, кратных номерам первого вычислителя, с номерами $K^2(2\alpha-1) \rightarrow 9, 25, 27$. Для третьего же вычислителя номер 9, 3, где 3 - множитель кратности, $9 \cdot 3 = 27$, но $27 \notin 15$. Причем выход вычитателя 48-2 является выходом третьего вычислителя первого и второго каналов, а первый выход вычитателя 48-2 подключен к выходу первого вычитате-

ля 48-1, первый вход которого подключен к первому входу ($i = 3$) третьего вычислителя.

Четвертый вычислитель (фиг. 7, 5-4 6-4) первого и второго каналов ($i = 4$) подключается своими входами 5-1-4, 5-1-12 и 6-1-4, 6-1-12 к соответствующим номерам выходов интеграторов первого и второго каналов (фиг. 7). При этом коэффициент кратности равен четырем относительно номеров первого вычислителя. Поэтому номера, кратные номерам первого вычислителя, делящиеся только на единицу и на себя, будут номера 5-1-12 и 6-1-12 соответственно первого и второго каналов. Других номеров не присутствует, следовательно, только вход 5-1-12 (6-1-12), кратный входу 5-1-3 первого вычислителя (коэффициент кратности 4) подключен через умножитель 49-1 на постоянный коэффициент к второму входу вычитателя 48-1, первый вход которого подключен к первому входу ($i = 4$) четвертого вычислителя, а выход вычитателя 48-1 является выходом четвертого вычислителя.

Пятый вычислитель ($i = 5$) подключается своими входами 5-1-5, 5-1-15 и 6-1-5, 6-1-15 (фиг. 7) к соответствующим номерам выходов интеграторов первого и второго каналов (фиг. 7). В этом случае вход 5-1-15 (6-1-15) через умножитель 49-1 на постоянный коэффициент подключен на второй вход вычитателя 48-1, первый вход которого подключен к первому входу пятого вычислителя ($i = 5$). Выход вычитателя 48-1 является выходом пятого вычислителя, а выходы шестого-пятнадцатого интеграторов первого и второго каналов являются непосредственно шестым-пятнадцатым выходами первого и второго каналов.

Рассмотрим работу вычислителя первого канала, вычисляющего первые коэффициенты ряда Фурье. На входах 5-1-1, 5-1-3, 5-1-5, 5-1-7, 5-1-11, 5-1-13, 5-1-15 - сигналы, удовлетворяющие определенной совокупности следования коэффициентов Фурье, определяемых согласно (1-1), ..., (1-10). Первый-шестой умножители 49-1, 49-1, ..., 49-6 на постоянный коэффициент умножают на постоянный множитель соответственно $1/3, 1/5, 1/7, 1/11, 1/13$,

1/15 (фиг. 7). Тогда первый вычислитель проводит вычитание в вычитателях

48-1, 48-5 и сложение в сумматоре 48-6 согласно

$$\begin{aligned}
 & \frac{2}{\pi} A_1 + \frac{2}{3\pi} A_3 + \frac{2}{5\pi} A_5 + \frac{2}{7\pi} A_7 + \frac{2}{9\pi} A_9 + \frac{2}{11\pi} A_{11} + \frac{2}{13\pi} A_{13} + \frac{2}{15\pi} A_{15} \\
 & - \frac{1}{3} (-\frac{2}{\pi} A_3) + \frac{2}{3\pi} A_3 + \frac{2}{5\pi} (-\frac{2}{\pi} A_5) + \frac{2}{7\pi} (-\frac{2}{\pi} A_7) + \frac{2}{9\pi} (-\frac{2}{\pi} A_9) \\
 & - \frac{1}{5} (-\frac{2}{\pi} A_5) + \frac{2}{11\pi} A_{11} + \frac{2}{13\pi} (-\frac{2}{\pi} A_{13}) + \frac{2}{15\pi} (-\frac{2}{\pi} A_{15}) \\
 & - \frac{1}{7} (-\frac{2}{\pi} A_7) + \frac{2}{11} (-\frac{2}{\pi} A_{11}) + \frac{2}{13} (-\frac{2}{\pi} A_{13}) + \frac{2}{15} (-\frac{2}{\pi} A_{15}) \\
 & - \frac{2}{\pi} A_1
 \end{aligned}$$

Второй вычислитель определяет коэффициент A_2 как

$$\begin{aligned}
 & -\frac{2}{\pi} A_2 + \frac{2}{3\pi} A_6 + \frac{2}{5\pi} A_{10} + \frac{2}{7\pi} A_{14} \\
 & - \frac{1}{3} (-\frac{2}{\pi} A_6) + \frac{2}{5} (-\frac{2}{\pi} A_{10}) + \frac{2}{7} (-\frac{2}{\pi} A_{14}) \\
 & - \frac{2}{\pi} A_2
 \end{aligned}$$

Третий вычислитель определяет коэффициент A_3 как

$$\begin{aligned}
 & -\frac{2}{\pi} A_3 + \frac{2}{3\pi} A_9 + \frac{2}{5\pi} A_{15} \\
 & - \frac{1}{3} (-\frac{2}{\pi} A_9) + \frac{2}{5} (-\frac{2}{\pi} A_{15}) \\
 & - \frac{2}{\pi} A_3
 \end{aligned}$$

Четвертый вычислитель определяет коэффициент A_4 как

$$\begin{aligned}
 & -\frac{2}{\pi} A_4 + \frac{2}{3\pi} A_{12} \\
 & - \frac{1}{3} (-\frac{2}{\pi} A_{12}) \\
 & - \frac{2}{\pi} A_4
 \end{aligned}$$

Пятый вычислитель определяет коэффициент A_5 как

$$\begin{aligned}
 & -\frac{2}{\pi} A_5 + \frac{2}{3\pi} A_{15} \\
 & - \frac{1}{3} (-\frac{2}{\pi} A_{15}) \\
 & - \frac{2}{\pi} A_5
 \end{aligned}$$

Остальные коэффициенты определяются непосредственно (без вычислений) с выходов шестого-пятнадцатого интеграторов. Аналогично определяются

коэффициенты В. Перед каждым коэффициентом А_i и В_i ряда Фурье присутствует постоянный множитель $2/\pi$. Он может быть скомпенсирован коэффициентом передаточной функции интеграторов.

Число n , т.е. число гармоник, присутствующих во входном сигнале, практически неограничено и не влияет на существенное усложнение и качественные показатели устройства.

Таким образом, технико-экономические преимущества предлагаемого анализатора спектра Фурье заключаются в том, что введение генератора базисных функций, сигналы которых эквивалентны гармоническим базисным функциям, но в отличие от последних имеют постоянные амплитуды ± 1 , т.е. являются кусочно-постоянными, позволяет использовать преимущества, которыми обладают преобразования Уолша, т.е. исключить операции умножения. В то же время предлагаемый анализатор вычисляет непосредственно коэффициенты Фурье в базисе тригонометрических функций, а не коэффициенты Уолша, причем для вычисления коэффициентов Фурье требуются минимальные аппаратурные затраты.

Таким образом, предлагаемый анализатор спектра Фурье позволяет определять коэффициенты ряда Фурье, обеспечивая минимальное количество арифметических операций, с малыми аппаратурными затратами и достаточно высокой точностью по сравнению с известными.

Ф о р м у л а и з о б р е т е н и я

Анализатор спектра Фурье, содержащий генератор базисных функций,

вход которого соединен с выходом генератора тактовых импульсов, N интеграторов ($N = 1, 2, 3, \dots$) соответственно первого и второго каналов, информационные входы которых соединены с входом анализатора, отличаясь тем, что, с целью расширения функциональных возможностей за счет определения коэффициентов Фурье в базисе тригонометрических функций, а также увеличения быстродействия, в него введены β вычислителей соответственно первого и второго каналов, причем выходы интеграторов первого и второго каналов с порядковыми номерами $i(2\alpha-1)$, где $\alpha = 1, 2, 3, \dots, N/2i$; $i = 1, 2, 3, \dots, \beta$; $\beta = N/3$; $i(2\alpha-1) \leq N$ за исключением выходов интеграторов с номерами $3^2 i$ ($2\alpha-1 \in N$),

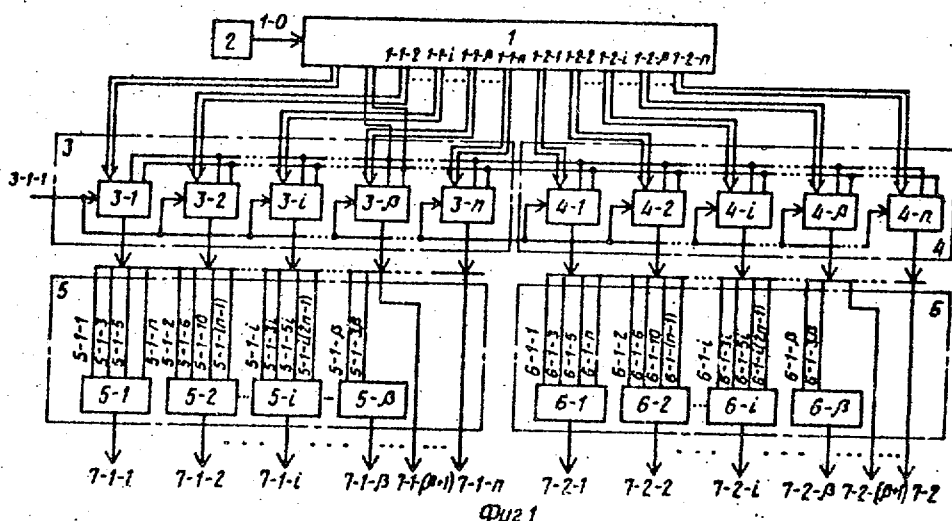
5

$i(2n-1)^2 \in N$, $n = 2, 3, 4, 5, \dots$, подключены к соответствующим входам i -х числителей соответственно первого и второго каналов, выходы вычислителей с первого по β -й соединены с соответствующими выходами первого и второго каналов анализатора, а выходы интеграторов соответственно с $(\beta+1)$ -го по n -й первого и второго каналов соединены непосредственно с соответствующими выходами первого и второго каналов анализатора, причем группа управляющих входов интеграторов с первого по n -й, первого и второго каналов подключены к соответствующей группе выходов с первого по n -й первого и второго канала генератора базисных функций.

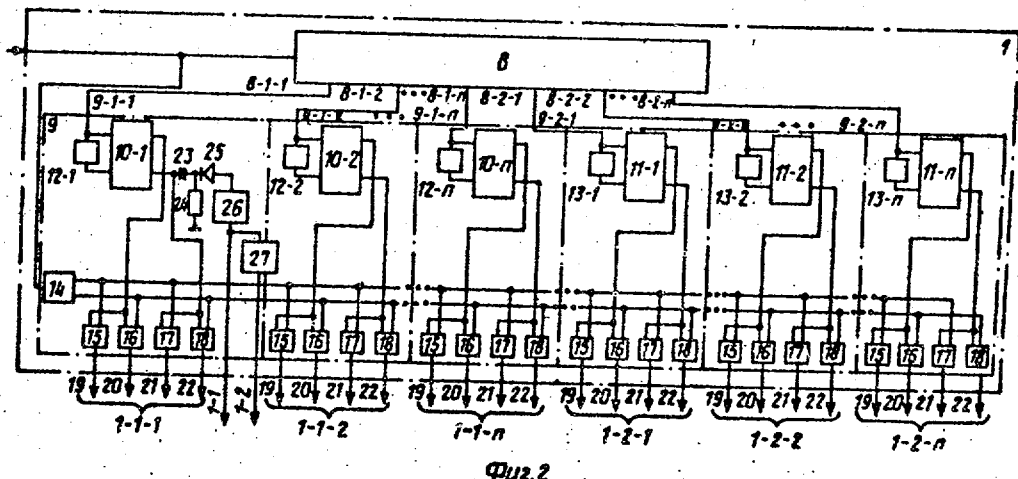
10

15

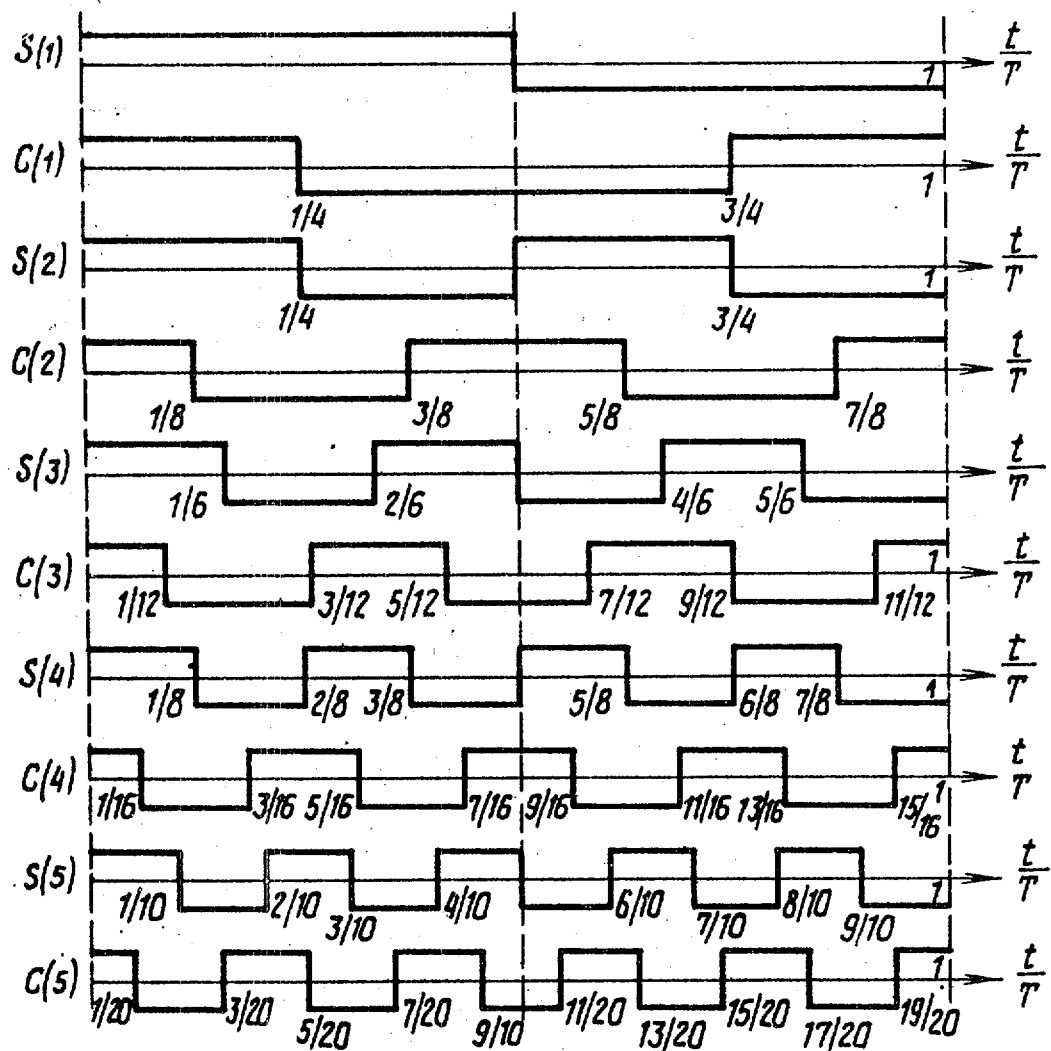
20



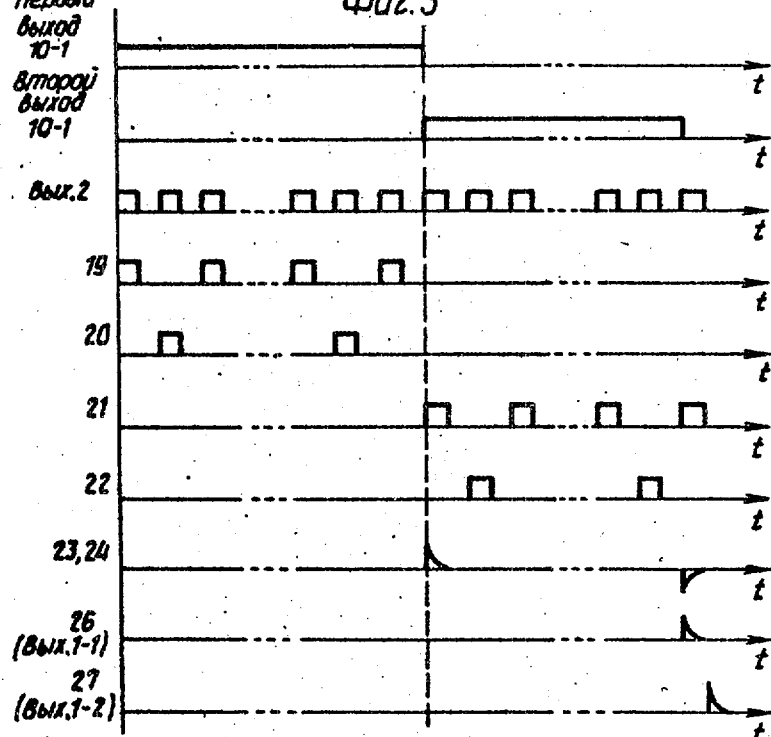
Фиг.1



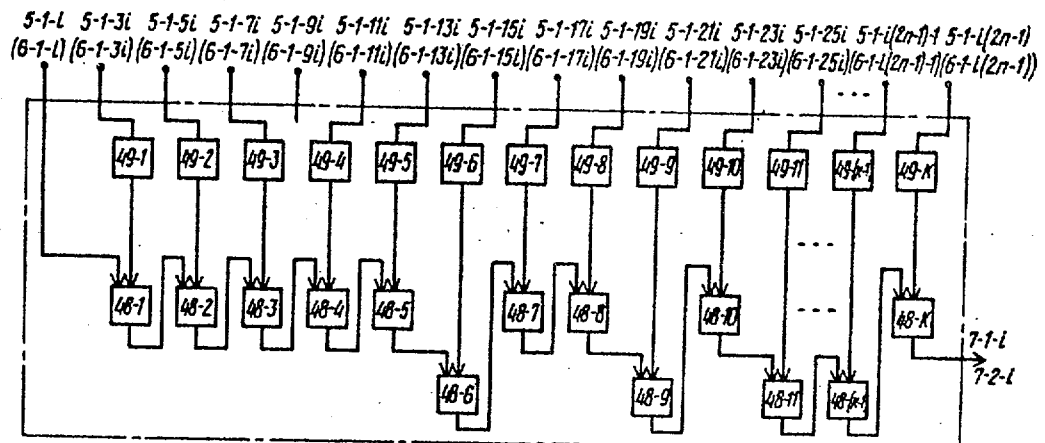
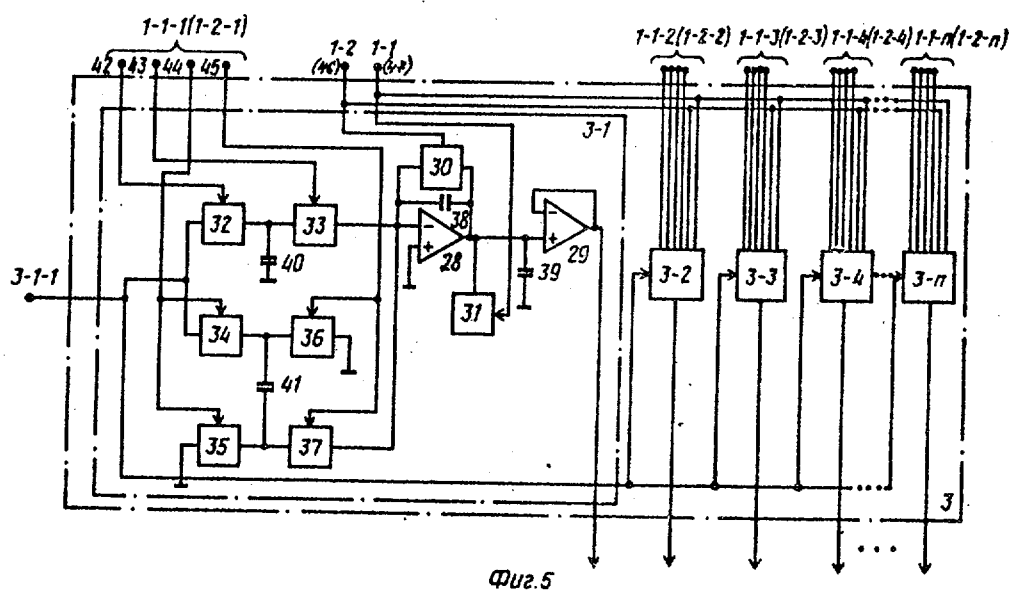
Фиг.2



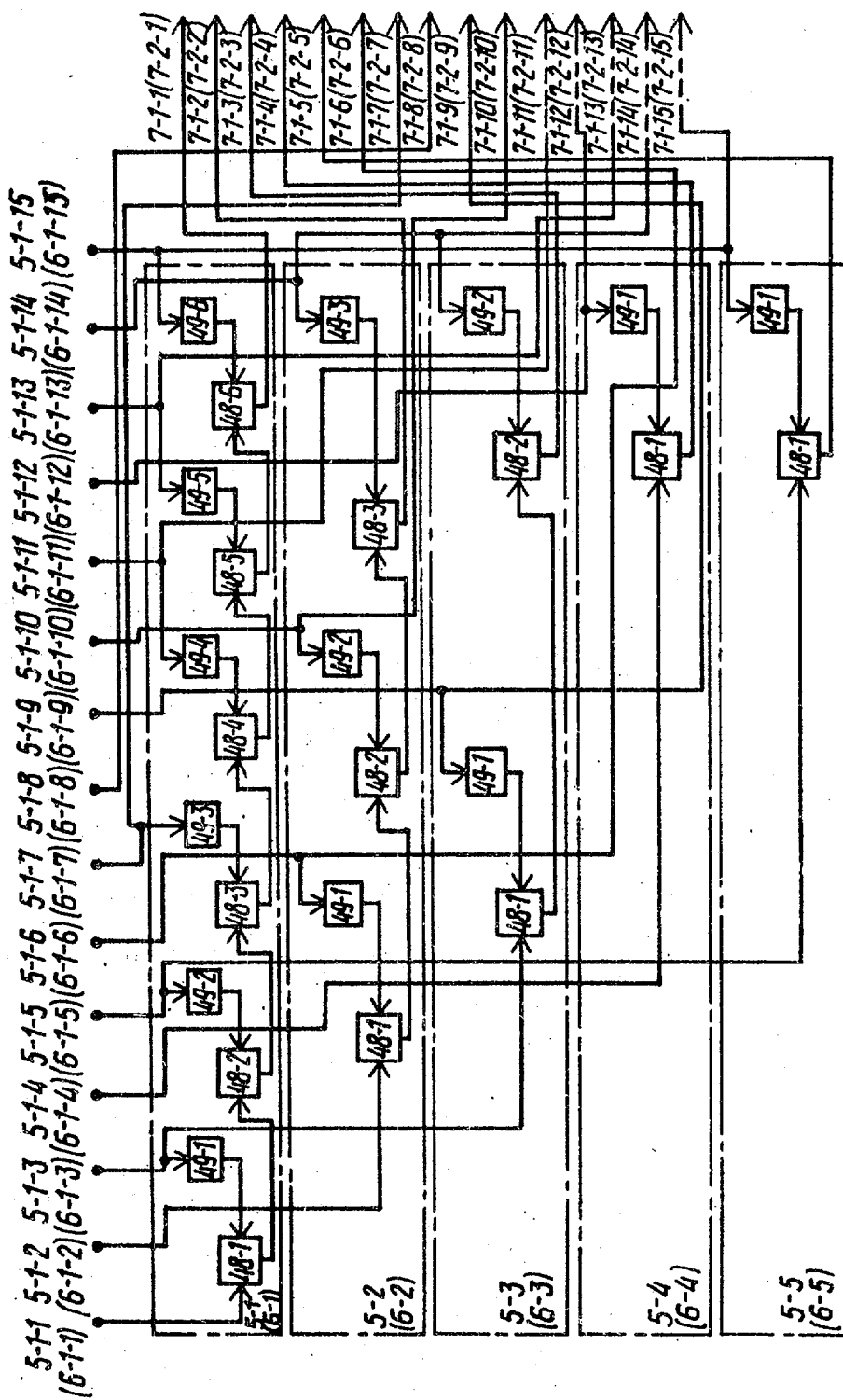
Фиг.3



Фиг.4



Фиг.6



Фиг. 7

Составитель Е.Губанов

Редактор И.Шулла

Техред М.Дидык

Корректор Н.Король

Заказ 1445

Тираж 558

Подписьное

ВНИИПП Государственного комитета по изобретениям и открытиям при ГКНТ СССР
113035, Москва, Ж-35, Раушская наб., д. 4/5

Производственно-издательский комбинат "Патент", г. Ужгород, ул. Гагарина, 101